

Príspevok k chemickému zloženiu libethenitu z typovej lokality: ložisko Podlipa, Ľubietová (Slovenská republika)

Contribution to the chemical composition of libethenite from the type locality: Podlipa copper deposit, Ľubietová (Slovak Republic)

MARTIN ŠTEVKO^{1)*}, JIŘÍ SEJKORA²⁾ A ŠTEFAN SÚĽOVEC³⁾

¹⁾UK Mining Ventures Ltd., No. 1, The Old Coach Yard, East Coker; Somerset, BA22 9HY; Great Britain;

*e-mail: msminerals@gmail.com

²⁾Mineralogicko-petrologické oddělení, Národní muzeum, Cirkusová 1740, 193 00 Praha 9 - Horní Počernice, Česká republika

³⁾Stará dedina 40/37, 951 05 Veľký Cetín, Slovenská republika

ŠTEVKO M, SEJKORA J, SÚĽOVEC Š (2017) Príspevok k chemickému zloženiu libethenitu z typovej lokality: ložisko Podlipa, Ľubietová (Slovenská republika). Bull Mineral Petrolog 25(2): 252-259 ISSN: 2570-7337

Abstract

This paper is dealing with chemical composition of various morphological forms of libethenite from the type locality, Podlipa copper deposit near Ľubietová, Slovakia. The unit-cell parameters of different types of libethenite as well as relationships with other associated supergene minerals are also presented. Libethenite is one of the most common supergene minerals at the locality studied. It occurs mostly as developed dark green, olive green to pale green pseudo-octahedral to short prismatic crystals up to 9.5 mm in size, which are often grouped to aggregates, drusy coatings or crystalline crusts on fissures and cavities of quartz or host rocks. Other morphological forms of libethenite e.g., crystals with phantoms, hemispherical aggregates up to 11 mm with radial internal structure or olive green acicular crystals up to 5 mm in size were also observed, but are comparably rare. Libethenite is predominantly associated with pseudomalachite (or its other polymorphs: reichenbachite and ludjibaite), Fe and Mn-oxides. Its association with malachite is also possible, but is not so common. Observed paragenetic relationships of libethenite and minerals of pseudomalachite group indicate that prevalent amount of pseudomalachite group minerals is slightly older than libethenite and only minor amounts of them crystallized later (possibly the second generation?), hence the pseudomophoses of pseudomalachite after libethenite are very rare. Notable vertical difference in a distribution of libethenite and minerals of pseudomalachite group across the supergene zone *in-situ*, which is well uncovered at the Rainer mining field, was not confirmed. Libethenite from Ľubietová is mostly homogenous in BSE, only sporadically it shows strong oscillatory to irregular chemical zoning, which is caused by PAs₁ isomorphism. Except of dominant Cu contents all morphological forms of libethenite has minor contents of Fe (up to 0.03 apfu) and Al (up to 0.01 apfu). Nearly all studied samples contained at least minor amounts of As, which are typically up to 0.02 apfu, but two samples of acicular crystals has elevated and very variable As content (from 0.01 to 0.58 apfu, with one spot already representing P-rich olivenite). Minor amounts of Si (up to 0.01 apfu) were also observed in several samples.

Key words: supergene minerals, libethenite, olivenite, olivenite-libethenite series, olivenite group, X-ray powder data, chemical composition, type locality, Podlipa deposit, Ľubietová, Slovak Republic

Obdrženo: 8. 11. 2017; přijato 22. 12. 2017

Úvod

Libethenit, Cu₂(PO₄)(OH) je relatívne zriedkavý supergenný minerál. Ako nový minerál ho opísal Breithaupt (1823) z ložiska Podlipa a pomenoval ho podľa nemeckejho názvu obce Ľubietová (Libethen), napriek skutočnosti, že už Leonhard (1812), Zipser (1817) a Jonas (1820) predpokladali, že ide o nový minerál. Kryštálovú štruktúru libethenitu ako prvý vyriešil Heritsch (1940) a neskôr spresnili Walitzi (1963), Cordsen (1978), Keller et al. (1979), Belik et al. (2007, 2011) a Zema et al. (2010), prevažne na vzorkách z Ľubietovej, pričom všetky práce konštatujú, že libethenit je pri izbovej teplote rombický minerál s priestorovou grupou *Pnnm*. Belik et al. (2011) zistili, že pri teplote 160K (-113.15 °C) dochádza v synteticky pripravenom libethenite k transformácii sy-

metrie z rombickej *Pnnm* na monoklinickú *P2₁/n*. Predpoklad, že AsO₄ analóg libethenitu, olivenit má monoklinickú symetriu s priestorovou grupou *P2₁/n* vyjadril ako prvý Toman (1977), čo neskôr potvrdili práce Burns, Hawthorne (1995) a Li et al. (2008). Existencia relatívne značnej AsO₄↔PO₄ izomorfie v aniónovej pozícii medzi olivenitom a libethenitom bola potvrdená v prírodných aj syntetických vzorkách (Braithwaite 1983; Sejkora et al. 2006; Števko 2014; Števko, Sejkora 2014; Súľovec 2015; Majzlan et al. 2015; Vrtiška et al. 2016). Prekvapivo publikovaných chemických analýz libethenitu z Ľubietovej je len malé množstvo a sú prevažne staršieho dátia (napr. Beudant 1823, Kühn 1844, Bergemann 1858). Táto práca prináša nové údaje o chemickom zložení rôznych morfologických typov libethenitu z typovej lokality.

Lokalizácia a geologicko-ložisková charakteristika

Cu ložisko Podlipa sa nachádza 1.5 km východne od centra obce Ľubietová, na južných svahoch kóty Vyšoká (995.6 m n. m.). Hlavné haldové pole na ložisku Podlipa je situované v Zelenej doline. Približne 400 m na severozápad od tohto haldového poľa je v bočnom údolí situované banské pole Rainer, ktoré predstavuje západný segment ložiska Podlipa.

Hydrotermálna rudná mineralizácia na ložisku Podlipa má charakter žilníka a je vyvinutá v terigénnych permeských metápieskovcoch, zlepencoch a bridliciach predajnianskeho súvrstvia, ktoré je súčasťou Ľubietovskej skupiny vepríka (Vozárová, Vozár 1988; Polák et al. 2003; Slavkay et al. 2004). Jednotlivé žilné štruktúry mali podľa dochovaných historických údajov rôzny smer (V - Z alebo S - J) a sklon okolo 50°, pričom maximálne hrúbka zrudneného žilníkovo-impregačného pásma dosahovala 30 až 40 m (Bergfest 1951, Slavkay et al. 2004). Primárna mineralizácia na ložisku Podlipa je druhovo relativne chudobná. Dominantným rudným minerálom je chalkopyrit, menej častý je pyrit a minerály tetraedrit-tennantitovej rady. V podradnom množstve sa vyskytuje aj arzenopyrit, bizmutinit, cinabarit, galenit, kasiterit, kobaltit, kupčíkit, matildit(?), siegenit a zlato. Z nerudných minerálov je prítomný kremeň, siderit, ankerit až Fe-dolomit, kalcit a skoryl (Hauerová et al. 1989, Slavkay et al. 2004, Michňová et al. 2008, Luptáková et al. 2012, 2016). Na ložisku je výrazne vyvinutá oxidačná zóna. Medzi časte supergénne minerály patrí pseudomalachit, malachit, libethenit, kuprit, med, hematit, goethit a Mn oxid. Zriedkavejšie sa vyskytuje akantit, azurit, brochantit, covellit, farmakosiderit, chalkozín, kyanotrichit, langit, ludjibait, mrázekit, reichenbachit a sadrovec (Čech, Láznička 1965; Figuschová 1977; Povondra, Řídkošil 1980; Řídkošil, Povondra 1982; Hyršl 1991; Řídkošil et al. 1992; Effenberger et al. 1994; Luptáková et al. 2012, Milovská et al. 2014). Pre libethenit (Breithaupt 1823) a mrázekit (Řídkošil



Obr. 1 Charakteristické čiernozelené pseudooktaédrické kryštály libethenitu do 6 mm v asociácii spolu s pseudomalachitom, Podlipa - banské pole Rainer; foto A. Russ, šírka záberu je 40 mm.



Obr. 2 Svetlozelené pseudooktaédrické kryštály libethenitu s fantómovým vývodom, Podlipa - banské pole Rainer; foto P. Škácha, šírka záberu je 2.5 mm.



Obr. 3 Polguľovité kryštalické agregáty libethenitu na kremení, Podlipa - banské pole Rainer. Foto P. Škácha, šírka záberu je 12 mm.

et al. 1992; Effenberger et al. 1994) je ložisko Podlipa typovou lokalitou. Novšie bol v banskom poli Rainer zistený výskyt bizmutitu, Bi- a Cu-bohatého corkitu, kintoreitu a petitjeanitu (Števko et al. 2016).

Ložisko Podlipa bolo v minulosti sprístupnené relatívne veľkým množstvom štôlní. K najvýznamnejším patrili štôlne Spodný, Stredný, Horný a Najvyšší Johan, Helena, Anton, Horná a Dolná Mária Empfängnis a Clemens. V banskom poli Rainer boli hlavnými banskými dielami štôlne Horný Ladislav, Dolný Ladislav a Rainer (Bergfest 1951). Konkrétne údaje o začiatkoch tăžby medi na ložisku Podlipa chýbajú. Prvé písomné údaje pochádzajú až zo 14. storočia. Najväčší rozmach tăžby medi bol na ložisku Podlipa zaznamenaný v 15. a 16. storočí. V neskoršom období tăžba na ložisku stagnovala a začiatkom druhej polovice 19. storočia úplne zanikla (Bergfest 1951; Vlachovič 1964).

Študované vzorky libethenitu (32 kusov) boli získané terénnym zberom vo vrchnej časti hlavného haldového poľa (najmä na haldách zo štôlne Stredný, Horný a Najvyšší Johan; 11 vzoriek), na haldách v banskom poli Rainer (najmä na halde štôlne Dolný Ladislav, 7 vzoriek) a v celom vertikálnom profile supergénnej zóny v banskom poli Rainer, prístupnej v starých banských práčach od povrchu až po dobývky pod úrovňou štôlne Rainer (14 vzoriek).

Metodika

Mikrofotografická dokumentácia libethenitu bola vyhotovená na mikroskope Zeiss Stemi2000 (P. Škácha; Hornické muzeum, Příbram, ČR).

Röntgenové práškové difrakčné údaje rôznych morfológických typov libethenitu boli získané pomocou práškového difraktometra Bruker D8 Advance (Katedra mineralógie a petrológie, PriF UK, Bratislava, SR) s polovodičovým pozične citlivým detektorm LynxEye s využitím CuK α žiarenia za nasledovných podmienok: napätie 40 KV, prúd 40 mA, krok 0.01° 2 θ , čas 3 s/krok. Pripravené práškové preparáty boli pre zníženie pozadia záznamu nanesené v acetónovej suspenzii na nosič zhrozený z monokryštálu Si. Získané difrakčné údaje boli vyhodnotené pomocou softvéru Bruker DIFFRAC_{plus} EVA a boli indexované na základe teoretického práškového záznamu, ktorý bol vypočítaný z publikovaných údajov o kryštálovej štruktúre libethenitu (Cordson 1978). Pozicie jednotlivých difrakčných maxím boli spracované profilovou funkciou Pseudo-Voigt a spresnené pomocou profilového fitovania v programe HighScore Plus. Mriežkové parametre študovaných libethenitov boli spresnené metódou najmenších štvorcov pomocou programu Celref (Laugier, Bochu 2011).



Obr. 4 OlivovozeLENÉ ihlicovité kryšťály As-bohatého libethenitu zoskupené do radiálnych agregátov v dutine kremeňa, Podlipa - hlavné haldové pole. Foto P. Škácha, šírka záberu je 18 mm.

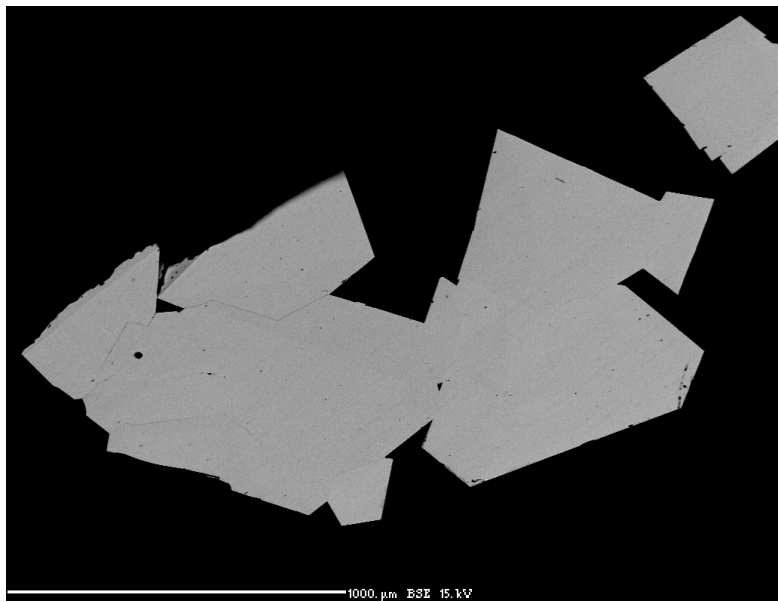
Tabuľka 1 Mriežkové parametre rôznych morfológických typov libethenitu z ložiska Podlipa (indexované v rombickej priestorovej grupe $Pnnm$) a ich porovnanie s publikovanými údajmi; po - pseudoooktaédrické kryštály, kp - krátkoprizmatické kryštály, ihl - ihlicovité kryštály, f - fantomové pseudoooktaédrické kryštály, pg - polguľovité agregáty

citácia	typ, lokalita	a [Å]	b [Å]	c [Å]	V [Å ³]
táto práca	po, Podlipa	8.062(1)	8.393(2)	5.885(1)	398.2(1)
táto práca	po, Rainer	8.066(1)	8.396(1)	5.8866(9)	398.6(1)
táto práca	kp, Podlipa	8.069(2)	8.397(1)	5.8857(4)	398.8(1)
táto práca	kp, Rainer	8.064(1)	8.394(1)	5.887(1)	398.5(1)
táto práca	ihl, Podlipa	8.286(1)	8.279(1)	5.903(1)	404.9(2)
táto práca	f, Rainer	8.071(1)	8.399(1)	5.886(1)	399.02(2)
táto práca	pg, Rainer	8.065(1)	8.392(1)	5.894(1)	398.9(1)
Cordson (1978)	Lubietová	8.071(2)	8.403(4)	5.898(3)	400.01
Zema et al. (2011)	Lubietová	8.0614(2)	8.3972(2)	5.8870(1)	398.51(2)
Lafuente et al. (2015)	Lubietová	8.0623(3)	8.4001(4)	5.8892(2)	398.84(2)

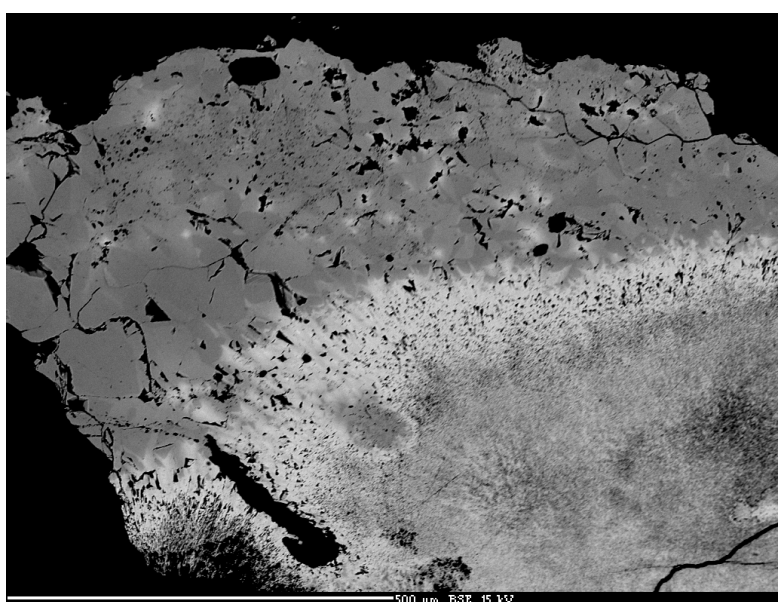
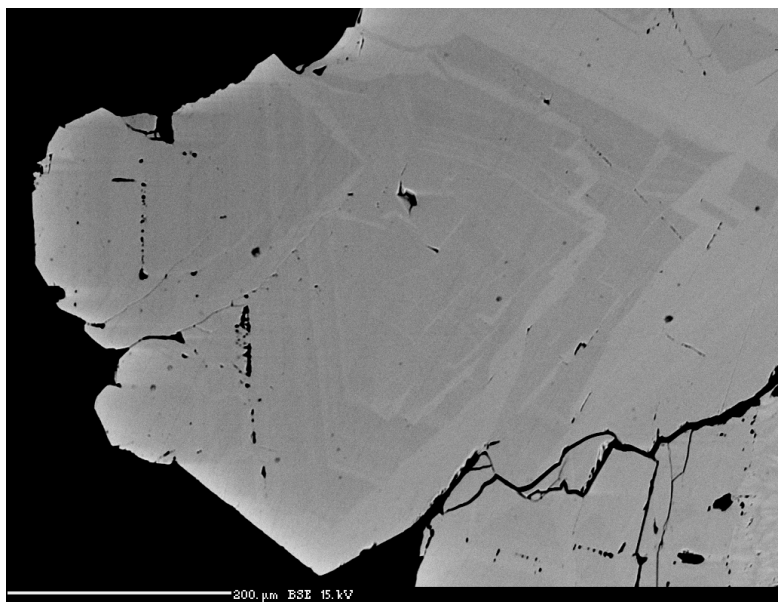
Chemické zloženie 32 vzoriek libethenitu bolo kvantitatívne študované pomocou elektrónového mikroanalyzátora Cameca SX100 (Přírodovědecká fakulta, MU, Brno, ČR) za týchto podmienok: WD analýza, 15 kV, 10 nA, priemer elektrónového lúča 5 µm, použité štandardy a spektrálne čiary: albit (Na K α), sanidín (K K α , Al K α , Si K α), Mg₂SiO₄ (Mg K α), fluórapatit (Ca K α , P K α), vanadinit (Pb M α , Cl K α), almandín (Fe K α), spessartín (Mn K α), Ni₂SiO₄ (Ni K α), Co (Co K α), lammerit (Cu L α , As L α), gahnit (Zn K α), ScVO₄ (V K α), Sb (Sb L β), Bi (Bi M β), SrSO₄ (Sr K α) a topás (F K α). Obsahy vyššie uvedených prvkov, ktoré nie sú zahrnuté v tabuľke, boli kvantitatívne analyzované, ale zistené koncentrácie boli pod detekčným limitom elektrónovej mikroanalýzy (cca 0.03 - 0.05 hm. % pre jednotlivé prvky). Získané údaje boli korigované pomocou softvéru PAP (Pouchou, Pichoir 1985).

Výsledky

Libethenit patrí po mineráloch pseudomalachitovej skupiny a malachite k najbežnejším supergénnym fázam na ložisku Podlipa (najmä vo vrchnej časti haldového poľa na Podlipe, ako aj na haldách a v prístupných banských dielach v banskom poli Rainer). Najčastejšie vytvára idiomorfne vyvinuté, čiernozelené, olivovo zelené až svetlozelené pseudooktaédrické (obr. 1) až krátkoprizmatické kryštály so skleným leskom, ktorých veľkosť bežne dosahuje 2 mm a zriedkavo až 9.5 mm. Jednotlivé kryštály libethenitu sú často zoskupené do agregátov, drúz a kryštalických kôr v puklinách a dutinách kremeňa alebo okolitých hornín. Zriedkavejšie sú kryštály s fantómovým vývojom (obr. 2). Ojedinele boli na vzorkách z banského poľa Rainer pozorované aj maximálne 11 mm veľké polguľovité agregáty libethenitu (obr. 3) s radiálou vnútornou stavbou a kryštalickým povrchom. V dvoch vzorkách z vrchnej časti hlavného haldového poľa na Podlipe boli v dutinách žilného



Obr. 5 Chemicky homogéne pseudooktaédrické kryštály libethenitu, Podlipa - hlavné haldové pole. BSE foto M. Števko.



Obr. 6 Oscilačne až nepravidelné chemicky zonálne pseudooktaédrické kryštály libethenitu, Podlipa - banské pole Rainer. BSE foto M. Števko.

Obr. 7 Výrazná nepravidelná chemická zonálnosť agregátu ihlicovitých kryštálov As-bohatého libethenitu, Podlipa - hlavné haldové pole. BSE foto M. Števko.

Tabuľka 2 Reprezentatívne chemické analýzy rôznych morfológických typov libethenitu z hlavného halodového poľa na Podlipe (hm. %)

	1	2	3	4	5	6	7	8	9	10	11	12	13	14	15	16	17	18	19	20
po	po	po	po	po	po	kp	kp	kp	kp	ihl										
FeO	0.00	0.00	0.09	0.00	0.14	0.08	0.00	0.00	0.00	0.53	0.13	0.28	0.41	0.27	0.41	0.18	0.12	0.22	0.00	0.25
CuO	66.56	65.86	66.21	65.53	66.63	66.21	67.01	67.61	65.79	66.00	65.22	65.92	61.45	60.38	60.16	67.89	63.95	62.11	63.47	60.93
CoO	0.00	0.00	0.11	0.00	0.00	0.00	0.00	0.00	0.00	0.00	0.00	0.00	0.00	0.00	0.00	0.00	0.00	0.00	0.00	0.00
NiO	0.00	0.00	0.00	0.00	0.00	0.00	0.00	0.00	0.00	0.00	0.00	0.00	0.00	0.00	0.00	0.00	0.00	0.00	0.00	0.00
ZnO	0.00	0.00	0.00	0.00	0.00	0.00	0.00	0.00	0.00	0.00	0.00	0.00	0.00	0.00	0.00	0.00	0.00	0.00	0.00	0.00
Al ₂ O ₃	0.00	0.03	0.00	0.00	0.15	0.23	0.03	0.03	0.03	0.00	0.04	0.00	0.00	0.06	0.06	0.00	0.00	0.03	0.00	0.00
SiO ₂	0.00	0.04	0.00	0.00	0.04	0.00	0.06	0.05	0.08	0.10	0.00	0.08	0.10	0.09	0.00	0.00	0.12	0.04	0.10	0.10
As ₂ O ₅	0.22	0.29	0.17	0.17	0.00	0.29	0.16	0.26	0.92	0.85	0.60	21.78	25.33	20.95	1.22	6.03	22.03	5.58	19.93	
P ₂ O ₅	30.21	29.79	29.84	30.02	30.07	28.86	28.96	29.46	28.86	29.04	29.17	29.56	14.10	11.41	14.35	28.71	25.08	13.94	22.27	14.52
SO ₃	0.00	0.00	0.00	0.00	0.00	0.00	0.00	0.00	0.00	0.00	0.00	0.00	0.00	0.00	0.00	0.00	0.03	0.00	0.00	0.00
total	96.99	96.01	96.43	95.72	96.83	95.33	96.49	97.32	94.99	96.60	95.47	96.41	97.83	97.49	95.94	98.06	95.17	98.45	91.39	95.72
Fe ²⁺	0.000	0.000	0.003	0.000	0.005	0.003	0.000	0.000	0.000	0.018	0.004	0.009	0.015	0.010	0.015	0.006	0.004	0.008	0.000	0.009
Cu ²⁺	1.957	1.957	1.972	1.941	1.977	2.044	2.052	2.036	2.018	1.982	1.965	1.983	1.983	1.960	2.056	1.981	1.999	2.198	2.018	
Co ²⁺	0.000	0.000	0.004	0.000	0.000	0.000	0.000	0.000	0.000	0.000	0.000	0.000	0.000	0.000	0.000	0.000	0.000	0.000	0.000	
Ni ²⁺	0.000	0.000	0.000	0.000	0.000	0.000	0.000	0.000	0.000	0.000	0.000	0.000	0.000	0.000	0.000	0.000	0.000	0.000	0.000	
Zn ²⁺	0.000	0.000	0.000	0.000	0.000	0.000	0.000	0.000	0.000	0.000	0.000	0.000	0.000	0.000	0.000	0.000	0.000	0.000	0.000	
Al ³⁺	0.000	0.002	0.000	0.000	0.007	0.011	0.002	0.001	0.001	0.000	0.002	0.000	0.000	0.003	0.000	0.000	0.000	0.001	0.000	
Σ A-site	1.957	1.959	1.979	1.941	1.982	2.054	2.063	2.038	2.020	2.001	1.956	1.976	1.993	1.975	2.064	1.985	2.007	2.200	2.027	
Si ⁴⁺	0.000	0.002	0.000	0.000	0.001	0.000	0.002	0.002	0.003	0.004	0.000	0.004	0.004	0.004	0.000	0.000	0.005	0.002	0.004	
As ⁵⁺	0.005	0.006	0.004	0.004	0.000	0.006	0.003	0.005	0.019	0.018	0.012	0.486	0.576	0.472	0.026	0.129	0.491	0.134	0.457	
P ⁵⁺	0.995	0.993	0.996	0.990	0.999	0.994	0.994	0.992	0.978	0.978	0.988	0.510	0.420	0.524	0.974	0.871	0.503	0.864	0.539	
S ⁶⁺	0.000	0.000	0.000	0.000	0.000	0.000	0.000	0.000	0.000	0.000	0.000	0.000	0.000	0.000	0.000	0.001	0.000	0.000	0.000	
Σ T-site	1.000	1.000	1.000	1.000	1.000	1.000	1.000	1.000	1.000	1.000	1.000	1.000	1.000	1.000	1.000	1.000	1.000	1.000	1.000	
OH ⁻	0.915	0.921	0.958	0.882	0.964	1.117	1.137	1.080	1.043	1.007	0.916	0.953	1.000	0.990	0.954	1.132	0.970	1.021	1.403	1.059

po - pseudooctaédričné kryštály, kp - krátkoprizmatické kryštály, ihl - ihlicovité kryštály

kremeňa zistené maximálne 5 mm veľké ihlicovité až tenkotabuľkovité kryštály s olivovo-zelenou farbou, ktoré sú zoskupené do radiálnych agregátov (obr. 4).

Libethenit sa najčastejšie vyskytuje v asociácii spolu so pseudomalachitom (resp. reichenbachitom alebo ludjibaitom) a Fe a Mn-oxidmi. Zriedkavejšie je asociovaný aj spolu s malachitom. Napriek skutočnosti, že v banskom poli Rainer boli nájdené viaceré vzorky, kde sa vyskytoval libethenit aj mrázekit na jednom kuse žiloviny, tieto dve fázy doteraz neboli pozorované v priamom paragenetickom vzťahu.

Paragenetický vzťah libethenu a minerálov pseudomalachitovej skupiny naznačuje, že prevažná časť minerálov pseudomalachitovej skupiny kryštalizovala tesne pred libethenitom a len minoritná časť (II. generácia?) až neskôr. Pseudomorfózy pseudomalachitu po libethenite sú relatívne vzácné. Výraznejšie rozdiely vo vertikálnom zastúpení libethenu a minerálov pseudomalachitovej skupiny v rámci vrchnej časti supergénnej zóny, ktorá je dobre prístupná v banských dielach v poli Rainer neboli potvrdené. Detailné vzorkovanie v celom vertikálnom profile supergénnej zóny v banskom poli Rainer (67 metrov po úklone od povrchu až po dobývky pod úrovňou štôlne Rainer) poukazuje na relatívne rovnometerný výskyt libethenitu a minerálov pseudomalachitovej skupiny, pričom libethenit je v celom profile zriedkavejší a minerály pseudomalachitovej skupiny dominujú. Vertikálna zonálnosť v distribúcii libethenitu a pseudomalachitu, ktorú uvádzajú Crane et al. (2001) z viacerých austrálskych lokalít sa na ložisku Podlipa nepotvrdila.

Spresnené mriežkové parametre rôznych morfologickej typov libethenitu z ložiska Podlipa sú uvedené v tab. 1. Získané hodnoty mriežkových parametrov rôznych morfologickej typov libethenitu sa významnejšie neodlišujú. Výraznejšie odchyly boli zistené len v prípade ihlicovitých

kryštálov z hlavného haldového poľa, ktoré sa vyznačujú zvýšeným obsahom As (viz. odstavec nižšie).

V BSE boli v libethenite z ložiska Podlipa pozorované rôzne typy chemickej zonálnosti, od dominantne zastúpených homogénnych kryštálov (hlavné haldové pole aj Rainer, obr. 5) cez mierne sektorovo až oscilačne zonálne (hlavné haldové pole aj Rainer, obr. 6) až po výrazne nepravidelne zonálne kryštály a agregáty (olivovozelené ihlicovité kryštály z hlavného haldového poľa, obr. 7). Zonálnosť je vyvolaná PAs₁ izomorfou. Reprezentatívne chemické analýzy rôznych morfológických typov libethenitu z hlavného haldového poľa sú uvedené v tabuľke 2 a z banského poľa Rainer v tabuľke 3. V katiónovej pozícii libethenitov z lokality Ľubietová-Podlipa boli okrem dominantného Cu pozorované len minoritné obsahy Fe (do 0.03 apfu) a Al (do 0.01 apfu). Takmer všetky študované libethenity sa vyznačujú prítomnosťou As v aniónovej pozícii (obr. 8), pričom obsah As v libethenitoch z hlavného haldového poľa aj z banského poľa Rainer zvyčajne nepresahuje hodnotu 0.02 apfu. Výnimku predstavujú len v dve vzorky olivovozelených ihlicovitých kryštálov (s výraznou nepravidelnou chemickou zonálnosťou) z vrchnej časti hlavného haldového poľa, v ktorých sa obsah As pohybuje v rozmedzí od 0.01 do 0.58 apfu, pričom jedna analýza už zodpovedá P-bohatému olivenitu. Lokálne boli v študovaných libethenitoch zistené aj minoritné obsahy Si (do 0.01 apfu).

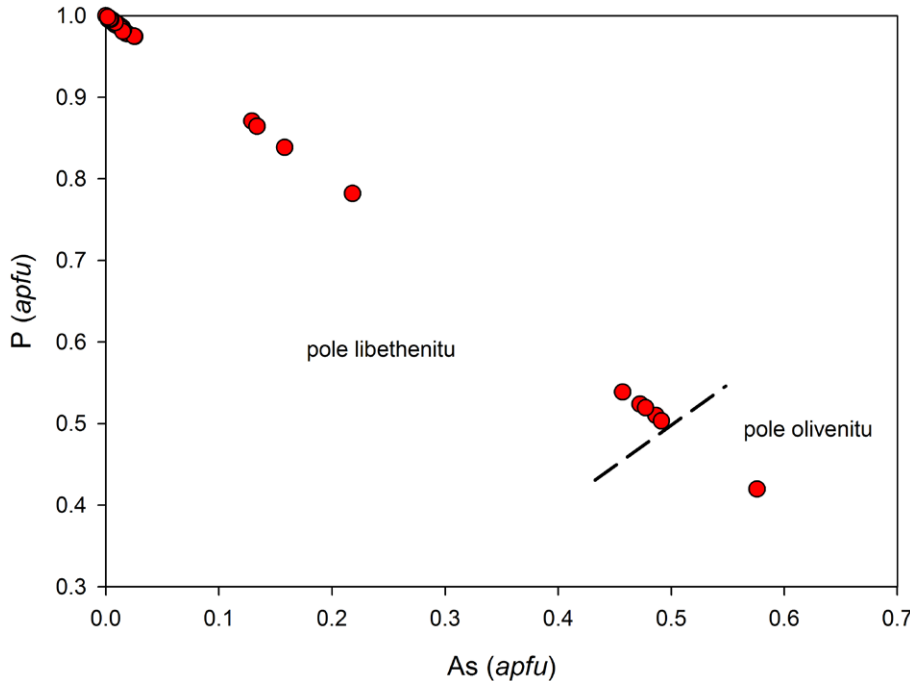
Záver

Tento príspevok prináša nové analytické údaje o chemickom zložení rôznych morfológických typov libethenitu z typovej lokality, Cu ložiska Podlipa pri Ľubietovej. Výsledky štúdia chemického zloženia 32 vzoriek libethenitu z tejto lokality potvrdzujú existenciu minimálne čiastočného tuhého roztoku medzi libethenitom a olivenitom.

Tabuľka 3 Reprezentatívne chemické analýzy rôznych morfológických typov libethenitu z banského poľa Rainer (hm. %)

	1	2	3	4	5	6	7	8	9	10	11	12	13	14	15	16	17	18	19	20
po	po	po	po	po	po	po	po	kp	kp	kp	kp	f	f	f	f	pg	pg	pg	pg	
FeO	0.00	0.20	0.00	0.00	0.07	0.09	0.44	0.45	0.68	0.72	0.05	0.91	0.52	0.99	0.71	0.00	0.08	0.11	0.10	0.14
CuO	65.87	66.23	65.82	65.47	66.96	68.02	64.89	65.83	65.89	64.37	66.78	64.66	65.32	64.13	65.72	65.99	65.85	66.06	66.86	67.78
CoO	0.00	0.00	0.00	0.00	0.00	0.00	0.00	0.00	0.00	0.00	0.00	0.00	0.00	0.00	0.00	0.00	0.00	0.00	0.00	0.00
NiO	0.00	0.00	0.00	0.00	0.00	0.00	0.00	0.00	0.00	0.00	0.00	0.00	0.00	0.00	0.00	0.00	0.00	0.00	0.00	0.00
ZnO	0.00	0.00	0.00	0.00	0.00	0.00	0.00	0.00	0.00	0.00	0.00	0.00	0.00	0.00	0.00	0.00	0.00	0.00	0.00	0.00
Al ₂ O ₃	0.12	0.03	0.19	0.26	0.06	0.03	0.10	0.11	0.26	0.22	0.00	0.07	0.00	0.03	0.10	0.07	0.16	0.03	0.12	
SiO ₂	0.05	0.00	0.05	0.00	0.04	0.00	0.05	0.00	0.05	0.00	0.00	0.07	0.06	0.00	0.11	0.07	0.05	0.00	0.00	0.00
As ₂ O ₅	0.50	0.47	0.52	0.33	0.71	0.69	0.65	0.76	0.50	0.48	0.15	0.37	0.67	0.30	0.71	0.36	0.26	0.00	0.15	0.14
P ₂ O ₅	28.15	29.68	29.02	28.74	29.42	28.62	29.53	29.65	28.64	28.81	29.32	29.00	28.77	28.89	28.54	27.98	27.89	28.50	29.62	29.04
SO ₃	0.00	0.00	0.00	0.00	0.00	0.00	0.00	0.00	0.00	0.00	0.00	0.00	0.00	0.00	0.00	0.03	0.00	0.00	0.00	0.00
total	94.69	96.61	95.61	94.79	97.25	97.46	95.61	96.85	95.97	94.61	96.28	95.09	95.34	94.31	95.82	94.53	94.19	94.82	96.79	97.21
Fe ²⁺	0.000	0.007	0.000	0.002	0.003	0.015	0.023	0.024	0.002	0.031	0.017	0.034	0.024	0.000	0.003	0.004	0.003	0.003	0.005	
Cu ²⁺	2.061	1.972	1.997	2.018	1.998	2.089	1.934	1.947	2.031	1.973	2.026	1.968	1.992	1.968	2.014	2.080	2.090	2.068	2.006	2.076
Co ²⁺	0.000	0.000	0.000	0.000	0.000	0.000	0.000	0.000	0.000	0.000	0.000	0.000	0.000	0.000	0.000	0.000	0.000	0.000	0.000	
Ni ²⁺	0.000	0.000	0.000	0.000	0.000	0.000	0.000	0.000	0.000	0.000	0.000	0.000	0.000	0.000	0.000	0.000	0.000	0.000	0.000	
Zn ²⁺	0.000	0.000	0.000	0.000	0.000	0.000	0.000	0.000	0.000	0.000	0.000	0.000	0.000	0.000	0.000	0.000	0.000	0.000	0.000	
Al ³⁺	0.006	0.001	0.009	0.012	0.003	0.002	0.005	0.012	0.011	0.000	0.004	0.000	0.000	0.001	0.005	0.003	0.008	0.001	0.006	
Σ A-site	2.067	1.980	2.007	2.031	2.003	2.094	1.953	1.967	2.066	2.008	2.028	2.003	2.009	2.002	2.040	2.085	2.096	2.079	2.011	2.087
Si ⁴⁺	0.002	0.000	0.002	0.000	0.002	0.000	0.000	0.002	0.000	0.000	0.000	0.003	0.002	0.000	0.003	0.002	0.000	0.000	0.000	
As ⁵⁺	0.011	0.010	0.011	0.007	0.015	0.013	0.016	0.011	0.010	0.003	0.008	0.014	0.016	0.015	0.008	0.006	0.006	0.003	0.003	
P ⁵⁺	0.987	0.990	0.987	0.993	0.984	0.985	0.987	0.983	0.989	0.990	0.997	0.989	0.983	0.994	0.988	0.980	0.992	1.000	0.996	0.997
S ⁶⁺	0.000	0.000	0.000	0.000	0.000	0.000	0.000	0.000	0.000	0.000	0.000	0.000	0.000	0.000	0.001	0.000	0.000	0.001	0.000	
Σ T-site	1.000	1.000	1.000	1.000	1.000	1.000	1.000	1.000	1.000	1.000	1.000	1.000	1.000	1.000	1.000	1.000	1.000	1.000	1.000	
OH ⁻	1.142	0.961	1.025	1.074	1.010	1.189	0.911	0.940	1.146	1.028	1.056	1.012	1.021	1.004	1.086	1.178	1.198	1.167	1.024	1.179

po - pseudooctaédricke kryštály, kp - krátkopriazmatické kryštály, f - fantomové pseudooctaédricke kryštály, pg - pologuľovité agregáty



Obr. 8 Graf závislosti obsahov As v P (apfu) v libethenitoch z Lúbietovej.

Podákovanie

Autori ďakujú P. Škáčovi za vyhotovenie mikrofotografií libethenitu a R. Škodovi za pomoc pri laboratórnom výskume. Veľká vďaka patrí M. Volejníkovi, M. Zemanovi a J. Plecháčkovi za pomoc pri terénnom výskume na lokality a tiež P. Vargovi za poskytnutie vzorky ihlicovitého libethenitu na výskum. Predložená práca vznikla za finančnej podpory Ministerstva kultúry ČR v rámci inštitucionálneho financovania dlhodobého koncepcného rozvoja výskumnnej organizácie Národní muzeum (00023272 - cieľ DKRVO 2017/01) pre J. Sejkoru.

Literatúra

- BELIK AA, KOO HJ, WHANGBO MH, TSUJII N, NAUMOV P, TAKAYAMA-MUROMACHI E (2007) Magnetic properties of synthetic libethenite $\text{Cu}_2\text{PO}_4\text{OH}$: a new spin-gap system. Inorg Chem 46: 8684-8689
- BELIK AA, NAUMOV P, KIM J, TSUDA S (2011) Low-temperature phase transition in synthetic libethenite $\text{Cu}_2\text{PO}_4\text{OH}$. J Solid State Chem 184: 3128-3133
- BERGEMANN C (1858) Bemerkungen ber phosphorsaures Kupferoxyd. Poggend Annal Phys Chem 4: 190-192
- BERGFEST A (1951) Baníctvo v Lúbietovej na medenú rudu. MS, archív Geofond, Bratislava, 1-42, 3668
- BEUDANT FS (1823) Traité élémentaire de minéralogie 1-2. Verdierre, Paris
- BRAITHWAITE RSW (1983) Infrared spectroscopic analysis of the olivenite-adamite series and of phosphate substitution in olivenite. Mineral Mag 47: 51-57
- BREITHAUPT A (1823) Vollständige Charakteristik des Mineral-System's. 1-358, Arnoldische Buchhandlung, Dresden und Leipzig
- BURNS PC, HAWTHORNE FC (1995) Rietveld refinement of the crystal structure of olivenite: A twinned monoclinic structure. Canad Mineral 33: 885-888
- CORDSEN A (1978) A crystal-structure refinement of libethenite. Canad Mineral: 16, 153-157
- CRANE MJ, SHARPE JL, WILLIAMS PA (2001) Formation of chrysocolla and secondary copper phosphates in the highly weathered supergene zones of some Australian deposits. Records of the Australian Museum 53: 49-56
- ČECH F, LÁZNICKA P (1965) Cyanotrichit z ložiska měděných rud od Lubietové. Acta Univ Carol Geol: 3, 149-155
- EFFENBERGER H, KRAUSE W, BELENDORFF K, BERNHARDT HJ, MEDENBACH O, HYBLER J, PETŘÍČEK V (1994) Revision of the crystal structure of mrázekite, $\text{Bi}_2\text{Cu}_3(\text{OH})_2(\text{PO}_4)_2 \cdot 2\text{H}_2\text{O}$. Canad Mineral 32: 365-372
- FIGUSCHOVÁ M (1977) Sekundárne minerály medi z Lúbietovej. In: Zborník referátov z konferencie Ložiskotvorné procesy Západných Karpát, Bratislava, 135-137
- HAUEROVÁ J, BLAHA M, BARTOŇ B, LINKEŠOVÁ M, FODOROVÁ V, MAKUŠA M, PITOŇÁK P, SPIŠIAK J (1989) Lúbietová - Kolba, Záverečná správa úlohy: Surovina: Cu (Sb, Ag, Ni, Co, Bi, W), výhľadávací prieskum, I. podetapa. MS, archív Geofond, Bratislava, 74660
- HERITSCH H (1940) Die Struktur des Libethenites $\text{Cu}_2(\text{OH})[\text{PO}_4]$. Z Kristallogr 102: 1-12
- HYRŠL J (1991) Three polymorphs of $\text{Cu}_5(\text{PO}_4)_2(\text{OH})_4$ from Lúbietová, Czechoslovakia. Neues Jb Miner Monat: 6, 281-287
- JONAS J (1820) Ungerns Mineralreich orycto-geognostich un topographisch dargestellt. 1-414, Hartleben, Pest
- KELLER P, HESS H, ZETTLER F (1979) Ladungsbilanzen an den verfeinerten Kristallstrukturen von Libethenit, Adamit und $\text{Co}[\text{OH}/\text{AsO}_4]$ und ihre Wasserstoffbrückenbindungen. Neues Jb Miner Abh: 134, 147-159
- KÜHN OB (1844) Über einige natürliche phosphorsaure und arsensaure Kupfersalze. Ann Chem Pharm 51: 123-132
- LAFUENTE B, DOENS RT, YANG H, STONE N (2015) The power of databases: the RRUFF project. In: ARMSTRONG T, DANISI RM, eds. (2015) Highlights in Mineralogical Crystallography. 1-30, W. De Gruyter, Berlin
- LAUGIER J, BOCHU B (2011) LMGP-Suite of Programs for the Interpretation of X-ray Experiments. <http://www ccp14.ac.uk/tutorial/lmpg>
- LEONHARD CC (1812) Über das, in Ungarn entdeckte, phosphorsaure Kupfer. Mineralogische Studien, Schrag, Nürnberg, 86-91
- LI CH, YANG H, DOWNS RT (2008) Redetermination of olivenite from an untwinned single-crystal. Acta Crystallogr E64: 60-61

- LUPTÁKOVÁ J, MILOVSKÁ S, BIROŇ A, JELEN Š, ANDRÁŠ P (2012) Study of secondary minerals of abandoned Cu deposit Ľubietová-Podlipa (Slovakia). *Acta Mineralogica Petrographica, Abstract Series*, 7, 80
- LUPTÁKOVÁ J, MILOVSKÁ S, JELEN Š, MIKUŠ T, MILOVSKÝ R, BIROŇ A (2016) Primary ore Cu mineralizitaion at the Ľubietová-Podlipa locality (Slovakia). *AGEOS* 8: 175-194
- MAJZLAN J, ZITTLAU AH, GREVEL KD, SCHLIESER J, WOODFIELD BF, DACHS E, ŠTEVKO M, CHOVAN M, PLÁŠIL J, SEJKORA J, MILOVSKÁ S (2015) Thermodynamic properties and phase equilibria of the secondary copper minerals libethenite, olivenite, pseudomalachite, kröhnkite, cyanochroite, and devilline. *Canad Mineral* 53: 937-960
- MICHŇOVÁ J, OZDÍN D, BAČÍK P (2008) Štúdium fluidných inkluzií a chemického zloženia turmalínov z hydrotermálneho ložiska Ľubietová. *Bull mineral-petrolog Odd Nár Muz (Praha)* 16: 100-108
- MILOVSKÁ S, LUPTÁKOVÁ J, JELEN Š, BIROŇ A, LAZOR P, POLÁK Ľ (2014) Manganese oxides and oxyhydroxides from Banská Štiavnica, Ľubietová and Selce (Central Slovakia). In: Proceedings of the international symposium CEMC 2014 (Skalský Dvůr), 101-102
- POLÁK M, FILO I, HAVRILA M, BEZÁK V, KOHÚT M, KOVÁČ P, VOZÁR J, MELLO J, MAGLAY J, ELEČKO M, VOZÁROVÁ A, OLŠAVSKÝ M, SIMAN P, BUČEK S, SIRÁNOVÁ Z, HÓK J, RAKÚS M, LEXA J, ŠIMON L, PRISTAŠ J, KUBEŠ P, ZAKOVIČ M, LIŠČÁK P, ŽÁKOVÁ E, BOOROVÁ D, VANĚKOVÁ H (2003) Geologická mapa Starohorských vrchov, Čierťaže a severnej časti Zvolenskej kotliny. 1:50 000. Štátny geologický ústav Dionýza Štúra, Bratislava
- POUCHOU JL, PICHOIR F (1985) "PAP" (φρΖ) procedure for improved quantitative microanalysis. In: *Microbeam Analysis* (Armstrong JT, ed.). San Francisco Press, San Francisco, 104-106.
- POVONDRA P, ŘÍDKOŠIL T (1980) Brochantit z Piesků a Lužietové u Banské Bystrice. *Acta Univ Carol Geol* 1-2: 1-8.
- ŘÍDKOŠIL T, POVONDRA P (1982) The relation between posnjakite and langite. *Neues Jb Miner Monat*, 16-28
- ŘÍDKOŠIL T, ŠREIN V, FÁBRY J, HYBLER J, MAXIMOV BA (1992) Mrázekite, $\text{Bi}_2\text{Cu}_3(\text{OH})_2\text{O}_2(\text{PO}_4)_2 \cdot 2\text{H}_2\text{O}$, a new mineral species and its crystal structure. *Can Mineral* 30: 215-224
- SEJKORA J, ONDRUŠ P, FIKAR M, VESELOVSKÝ F, MACH Z, GAŠAŠOVÁ A, ŠKODA R, BERAN P (2006) Supergene minerals at the Huber stock and Schnöd stock deposits, Krásno ore district, the Slavkovský les area, Czech Republic. *J Czech Geol Soc* 51: 57-101
- SLAVKAY M, BEŇKA J, BEZÁK V, GARGULÁK M, HRAŠKO Ľ, KOVÁČIK M, PETRO M, VOZÁROVÁ A, HRUŠKOVIC S, KNÉSL J, KNÉSLOVÁ A, KUSEIN M, MAŤOVÁ V, TULIS J (2004) Ložiská nerastných surovín Slovenského rudoohoria, Zväzok 2. 1-286, Štátny geologický ústav Dionýza Štúra, Bratislava
- SÚLOVEC Š (2015) Mineralogická charakteristika minerálov olivenitovej, pseudomalachitovej a adelitovej skupiny z lokalít Ľubietová-Podlipa a Poniky-Drienok. Diplomová práca, archív KMP PriF UK, Bratislava
- ŠTEVKO M (2014) Mineralogická charakteristika supergénnych arzeničnanov medi z lokalít Novoveská Huta, Poniky a Špania Dolina. Dizertačná práca, archív KMP PriF UK, Bratislava, 1-134
- ŠTEVKO M, SEJKORA J (2014) Contribution to chemical composition of chalcophyllite, pseudomalachite and olivenite group minerals from Špania Dolina-Piesky, Slovak Republic. Book of abstracts, CEMC 2014, 133-134
- ŠTEVKO M, SEJKORA J, MALÍKOVÁ R (2016) Nové údaje o supergénnych mineráloch z banského pola Rainer, ložisko Ľubietová-Podlipa (Slovenská republika). *Bull mineral-petrolog Odd Nár Muz (Praha)* 24: 1-12
- TOMAN K (1977) The symmetry and crystal structure of olivenite. *Acta Crystallogr B33*: 2628-2631
- VLACHOVIČ J (1964) Slovenská med' v 16. a 17. storočí. 1-332, Vydavateľstvo Slovenskej akadémie vied, Bratislava
- VOZÁROVÁ A, VOZÁR J (1988) Late Paleozoic in the Western Carpathians. 1-314, Štátny geologický ústav Dionýza Štúra, Bratislava
- VRTIŠKA L, SEJKORA J, MALÍKOVÁ R (2016) Philipsburgit z Krásna u Horního Slavkova, Slavkovský les (Česká republika). *Bull mineral-petrolog Odd Nár Muz (Praha)* 24: 243-251
- WALITZI EM (1963) Structure refinement of libethenite $\text{Cu}_2(\text{OH})(\text{PO}_4)$. *Tscher Mineral Petrog* 8: 614-624
- ZEMA M, TARANTINO SC, CALLEGARI AM (2010) Thermal behaviour of libethenite from room temperature up to dehydration. *Mineral Mag* 74: 553-565
- ZIPSER CHA (1817) Versuch eines topographisch-mineralogischen Handbuches von Ungern. 1-228, Wigand, Oedenburg